

合成樹脂注入法에 依한 개내臟의 準粗大解剖學的研究

第1報 肺의 氣管分枝 및 血管分布에 關하여

慶北大學校 農科大學

毛 麒 喆

目 次

- I. 緒論
- II. 材料 및 方法
- III. 實驗成績
- IV. 考察

- V. 結論
- 圖說說明
- 參考文獻

I. 緒論

肺臟은 胸腔 내에 位置하고 有對性이며 外呼吸을 하는動物體에서의 致命器管이다.

肺臟에는 呼吸管 및 血管들이 出入하고 肺內에서 多重으로 分枝하여 繁密하고 精巧한 樹枝像을 이룬다.

여러 管系中에서도 呼吸管은 氣體의 通路를 形成할 뿐만 아니라 管壁에 硬性인 軟骨組織片을 包有함으로 肺의 形態形成에 있어 支柱的役割을 한다.

肺는 葉 또는 區域形成에 있어 呼吸管系 및 血管系를 이 主構成物이며 이들은 一般的으로 各 葉 및 區域에 獨立된 分枝로 分布한다.

이런 管系의 分枝에는 主枝로 부터의 分枝하는 部位의 數, 形狀 및 經過樣狀에 따라 分枝型을 異別할 수 있고 또 이와 같은 分枝型 및 血管系 分枝型의 配合等의 種類와 그 出現頻度의 差異는 遺傳, 進化 및 個體發生過程에서의 變異에 基因된 것으로 思料된다. 따라서 種間 또는 個體에서의 分枝型의 差異와 變化가 研究對象으로서 關心事が 되어 있다.

一部 動物 特히 人肺에 사는 人肺의 出現型 및 그 差異에 對한 許多의 研究들이 報告되며 있다. 即 氣管支의 分枝에 關한 研究는 Malpighi⁽¹⁾가 氣管終末部에 對해서 觀察한 以來 比較解剖學者인 Aeby⁽²⁾가 Metal cast를 哺乳動物 肺에 注入하여 肺區域의 名稱을 發表하였고, Ewart⁽³⁾가 氣管支幹의 模型으로 肺區域의 分枝를 提唱하였다. 20世紀에 와서 氣管支의 分枝 및 肺區域에 關한 研究가 進展되어 氣管系 및 血管系에 各種 注入劑에 依한 標本을 製作 觀察하게 되었다. Melnikoff^(4,5), Felix⁽⁶⁾는 石膏와 鉛圓의 混合液을 注入하여 X線 觀察法으

로 肺區域 및 血管分布를 研究하였으며, Herrnheiser와 Kubat⁽⁷⁾는 各 肺區域과 血管의 關係를 別出하여 檢索하였다. Jackson과 Huber⁽⁸⁾ 및 Boyden⁽⁹⁾은 肺를 空氣로 膨脹시키고 有色溶液을 注入하여 肺 區域의 詳細한 研究를 하였다. 近來에는 鹽澤 및 岩崎⁽¹⁰⁾, Elias 및 Petty⁽¹¹⁾, Healey 및 Schroy⁽¹²⁾, 劉⁽²⁵⁾ 및 成⁽²⁷⁾等이 合成樹脂(Vinylite)를 注入하여 鑄型標本을 製作하여 管系의 分枝型을 分類 또는 計測하였고, 中久喜⁽²⁸⁾는 “셀루로이드”를 氣管에 注入하여 개(犬)의 氣管支의 分枝에 對하여 研究하였다.

以上의 여러 學者들의 研究은 大部分 人肺에 關한 것이고 家畜의 氣管系 및 血管系에 關한 研究는 極히 稀少할 뿐만 아니라 不備 疏略하다.

著者は 개(犬)에 合成樹脂를 注入하여 肺의 氣管系 및 血管系의 鑄型標本을 製作하여 肺內의 血管系 및 氣管系의 分枝像을 觀察하여 分枝型을 分類하였으며 分類型에 對한 出現率을 究索하여 基本中 및 그의 變異性을 觀察하였던 바 몇 가지 有意한 結果를 얻었기에 이에 報告하는 바이다.

II. 材料 및 方法

1. 材料

雜種成犬(100例)의 肺臟 및 心臟을 다음과 같이 別出하여 本 研究의 目的에 供試하였다.

肺臟 및 心臟의 別出은 居殺直後 胸郭을 兩側에서 切開하여 胸骨을 除去하고 氣管起始部에서 氣管을 切斷하고 縱隔에서 肺에로 反轉되어 있는 左肺門 肺袖의 肺膜(左肺肺帶)을 切斷하였으며 心臟에 出入하는 構造中 肺와 連結된 構造以外의 것은 心臟外部에서 切斷하고 心

囊을 切開하여 心囊水를 去掉하였다.

右肺도 左肺와 同一한 方法으로 處理하고 食道 其他の 構造를 徒去한 後 心臟과 肺가 連結된 채 脫出하였으며 이 때 後大靜脈에 감겨 있는 中間葉을 뜯어내었다. 肺脫出 時는 損傷이 없도록 格別히 注意하였다.

2. 方 法

(1) 採取材料의 處理方法

肺臟 및 心臟의 各管系에 封하여 管內 閉塞이 없도록 注射器로 數次 清水를 注入하여 注入劑의 圓滑한 注入이 可能하도록 内容物을 吸引除去하였다. 如前히 管系 内를 洗滌한 後 Acetone 을 3~4 回 注入하여 洗滌하고 鐵製注入器(100 ml 容)로 徐徐히 指壓을 加하여 注入劑를 注入하였다.

氣管枝系는 氣管斷端에서 肺動脈은 右心室 肺動脈 起

始部에서, 肺靜脈은 左心房 肺靜脈出口에서 각각 注入劑量 注入하였다. 注入이 끝나면 注入前의 逆流量 防止하기 為하여 注入部位를 鑽子로 穿刺하였다.

各管系에 封한 注入劑는 主劑인 Vinyl Chloride(Vinylite) 28 gm. (28%) 을 Acetone(ad) 100 ml 里 溶解시키고 여기에 防縮劑인 Kaoline 을 100 ml 與 10 gm 的 比率로 添加하여 充分히攪拌混合하였다. 氣管系에는 原色인 白色同劑를, 肺動脈에는 Eosin Y로 着色한 赤色同劑로, 肺靜脈에는 Green S-685로 着色한 青色同劑를 각각 供用하였다.

注入量은 氣管系에 封하여 75~95 ml 量, 肺動脈系에는 45~65 ml 量, 左肺靜脈系에는 50~70 ml 였으며 氣管系, 肺動脈系 및 肺靜脈系의 順位로 注入하였다. 注入後 10~12 時間 室內에 縱垂하여 注入劑가 固定되었을 때

Table 1

日本命名委員會肺區名稱

右上葉	Seg. apicalis.....	(1)...	seg. apicalis proprius	a
	Seg. dorsalis.....	(2)...	{ seg. (subapicalis) dorsalis.....	a
	Seg. ventralis	(3)...	{ seg. (lobi. superior vent.) lateralis	a
右中葉	Seg. medius lateralis	(4)...	{ seg. lateral.....	a
	Seg. medius medialis	(5)...	{ seg. medial.....	b
	Superior (lobi. inferioris).	(6)...	{ seg. dorsal.....	a
右下葉	Subsuperior (" ")	(6*)	{ seg. ventral.....	b
	Seg. mediobasalis.....	(7)...	{ seg. lateralis	a
	Seg. ventrobasis.....	(8)...	{ seg. basal.....	b
左上葉	Seg. laterobasalis.....	(9)...	{ seg. lateral.....	a
	Seg. dorsohasalis	(10)...	{ seg. basal.....	b
	Seg. apicodorsalis	(1+2)...	{ seg. dorsal.....	a
左中葉	Seg. ventralis (lobi. superioris).....	(3)...	{ seg. horizontalis.....	c
	Seg. lingualis superior	(4)...	{ seg. lateral.....	a
	Seg. lingualis inferior	(5)...	{ seg. medial.....	b
左下葉	Superior (lobi inferioris)	(6)...	{ seg. superior	c
	Subsuperior (" ")	(6*)	{ seg. ventral.....	b
	Seg. ventrobasis.....	(8)...	{ seg. basal.....	b
	Seg. laterobasalis.....	(9)...	{ seg. lateral.....	a
	Seg. dorsohasalis	(10)...	{ seg. basal.....	b
			{ seg. dorsal.....	a
			{ seg. lateral.....	b
			{ seg. medial.....	c

流水에 24~40時間 浸漬 硬化시켰다. 完全히 硬化된 後 濃黃酸과 水量 1對 1.5의 容量 比率로 稀釋한 溶液에 浸漬하여 30~35°C에서 5~8日間 放置하여 組織을 穿蝕시키고 附着된 殘遺組織은 流水로서 洗滌 除去하고 室內에서 乾燥시켜 鑄型標本을 完成하여 氣管系와 脈管系의 分枝型을 分類하였다.

(2) 分類 및 觀察方法

各肺區의 氣管系 脈管系의 分枝狀을 各肺葉別로 觀察 分類하였으며 肺區域 및 肺小區域의 名稱은 日本命名委員會에서 制定한 人肺의 肺區 名稱 (Fig. 1)에 準하였다. 例(犬)에서는 人肺에서 右下葉에 包含되는 内側肺底區가 獨立된 中間葉(Lobi. intermediale)에 該當하였다.

各葉에 對한 氣管系 및 脈管系의 分枝型의 分類에 있어 著者는 가장 많은 出現率을 보인型을 基本型으로 定하였다. 記述에 있어서는 肺靜脈은 血流와는 逆으로 큰 것으로부터 쪽은것으로 가는 것과같이 하였다.

三、 實驗成績

犬肺는 人肺와 同一한 肺區로 區分할 수 있으며 다만 人肺에서 内側肺底區에 該當되는 部分이 獨立된葉(中間葉)으로 크게 發達하여 있다.

左右氣管支의 分岐는 氣管의 末端 大動脈弓의 右位 第5肋骨部이며 左氣管支는 肺門에 到達하기 前에 1개의 側枝을 分岐하며 이것에서 尖葉과 心葉에 가는 氣管支로 屬分되는 것이 99%였고 少葉과 心葉에 別個枝로 氣管支에서 각각 分岐되는 것이 1%였다(2圖). 이같이 分岐한 後 左氣管支는 橫隔葉에 많음 가지를 分岐하

며 肺底에 이르는 主軸狀分岐를 한다. 右氣管支도 肺門에 이르기前에 尖葉에 分岐하고 順次로 心葉 中間葉 및 橫隔葉에 分岐하여 肺底에 이르는 主軸狀分岐를 한다.

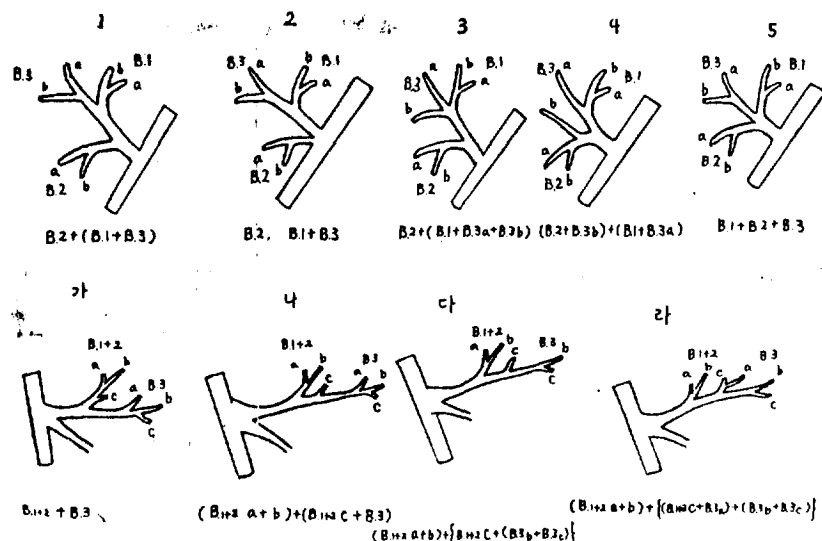
右尖葉氣管枝

右尖葉氣管枝는 第5와 6肋骨間腔部에서 分岐되고 尖葉肺動脈(Truncus anterior)의 後內側에서 前外側으로 둘며一般的으로 Seg. Ventralis에 가는 B.3의 發達이 좋았고 이들의 分岐는 매우複雜하고 多樣性 있는 分枝型을 나타냈다. 이들을 大別하면 5個型으로 分類할 수 있었다(1圖의 1~5).

1) 右幹氣管支에서 分岐된 尖葉枝가 第一次로 Seg. dorsalis에 가는 B.2를 나누고 Seg. apicalis와 Seg. Ventralis에 가는 B.1, B.3이 同一枝(B.1+B.3)로 되고 이것이 B.1과 B.3로 分岐되어 이들이 各國 Seg. apicalis proprius, Seg. (sub apicalis) ventralis에 가는 B.1a, B.1b로 나뉘고 Seg. (Sub apicalis) dorsalis, Seg. (lobi. sup.) hori-zonialis에 가는 B.2a, B.2b, Seg. (lobi. Sup. Ventr.) lateralis, seg. (lobi. sup. Ventr.) mediialis에 가는 B.3a, B.3b로 나뉘는型 即 B.2+(B.1+B.3)型이며 本型의 出現率은 50%였고 本型을 著者는 尖葉枝管枝分類의 基本型으로 定하였다.

2) B.2와 B.1+B.3枝가 右幹氣管支에서 同時に 分岐되고 이들이 各各 B.1a, B.1b, B.2a, B.2b, B.3a, B.3b로 나뉘는型 即 B.2, B.1+B.3型이고 本型은 31% 出現하였다.

3) 1)型에서와 같이 右幹氣管支에서 分岐되어 第一次로 B.2가 갈리고 B.1과 B.3a, B.3b가 同時に 分岐되는型으로 三分되는것과 같은 樣狀으로 되고 B.2에서



1圖 右尖葉 및 左尖葉氣管枝分枝型 (B. Bronchi의 略字)

B. 2 a. B. 2 b, B. 1에서 B. 1 a, B. 1 b로 나뉘는型 即 B.2+(B.1+B.3a+B.3b)型이고 本型은 10% 出現하였다.

4) B.1 B.2 B.3가 同一枝로 分岐되어 가다가 B.2+B.36枝와 B.1+B.3a枝로 分岐되는 型이며 前者에서 B.3b를 分岐한後 B.2a, B.2b로 갈리고 後者에서 B.3a를 分岐한後 B.1a, B.1b로 나뉘는型 即 (B.2+B.3a)+(B.3a+B.1)型이고 本型은 6% 出現하였다.

5) 1, 3, 4, 型과 같이 B.1, B.2, B.3가 同一枝로 分岐되어 가다가 B.1, B.2, B.3가 同時에 三分岐되고 이들이 각각 a, b로 나뉘는型 即 B.1+B.2+B.3型이고 本型은 3% 出現하였다.

以上으로 볼 때 幹氣管支에서 二分岐型으로 分岐되는 것과 單一枝로 分岐되어 이것에서 각각 B.2, B.1, B.3가 分岐되는 것으로 分類할 수 있었으며 前者는 31%, 後者は 69% 있었고 4)型의 경우와 같이 B.3枝가 獨立하지 못하고 B.1과 B.2에서 각각 a, b가 分岐되는 型이 6%

있었으며 이같은 경우 94%(1, 2, 3型)에서 B.枝가 B.1 B.보다 그 發達이 좋은 것과는 對照의이었다.

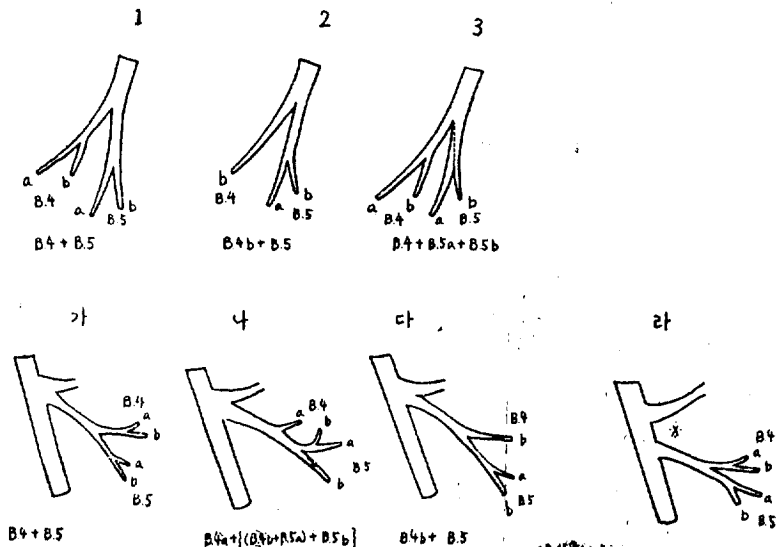
右心葉氣管枝

右心葉氣管枝의 分岐는 比較的 單調롭고 이들은 大體로 3個型으로 分類할 수 있었다. (2圖 1~3)

1) Seg. mediolateralis와 Seg. medius medialis에 가는 B.4와 B.5가 同一枝로 分岐되어 가다가 B.4 B.5로 갈리고 이것이 각각 Seg. lateralis Seg. medialis, Seg. anterior Seg. posterior에 가는 B.4a, B.4b, B.5a, B.5b로 나뉘는型 即 B.4+B.5型은 81%의 多數例에서 出現하였으며 이를 心葉氣管支分岐의 基本型으로 定하였다.

2) 前記型과 같이 B.4 B.5가 同一枝로 分岐하여 가다가 B.4와 B.5가 分岐되나 B.4a가 缺如되는型 即 B.4b+B.5型이며 本型은 12% 出現하였다.

3) 1) 2)型에서와 같이 單一枝로 幹氣管支에서 分岐되어 가다가 B.4와 B.5a, B.5b가 同時에 三分岐되고 B.4



2圖 右心葉 및 左心葉氣管枝分岐型 (B.는 Bronchi의 略字)

에서 B.4a, B.4b로 갈리는型 即 B.4+B.5a+B.5b型이고 本型은 7% 出現하였다.

以上으로 볼 때 右心葉氣管枝는 基本型인 B.4+B.5型이 絶對多數인 81% 出現하였으며 其他의 型은 不過 19%뿐이었고 이들도 모다 單一枝로 右氣管支幹에서 分岐되었다. 또한 大體로 B.4는 B.5에 比하여 그 發達이 좋지 못하였다.

中間葉氣管枝

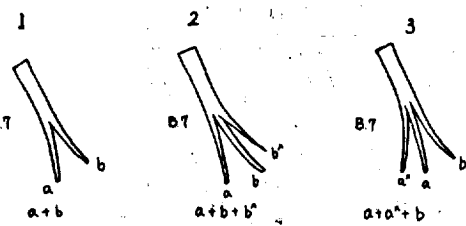
心間葉은 前述한 바와 같이 家畜에서는 獨立葉으로 存在하며 人肺에서와 같이 Seg. medobasalis로 下葉에 包含되지 않으며 Seg. dorsalis와 Seg. ventralis에 가는 B.

7a. B.7b로 나뉘어 大體로 兩枝는 均等한 發達을 하고 있었다. 이들의 分岐型은 單調롭다(3圖 1~3).

1) B.7a와 B.7b가 同一枝로 右幹氣管支의 内側에서 分岐되어 가다가 B.7a와 B.7b로 갈리는型 即 a+b型이며 本型은 95% 出現하였으며 이를 中間葉의 基本型으로 定하였다.

2) 前記型과 같이 B.7a와 B.7b가 同一枝로 分岐되어 가다가 B.7a와 B.7b가 갈리나 Seg. ventralis에 또 한개의 枝가 거기 同時에 이들과 함께 分岐되어 三分岐型을 取하는型 即 a+b+bx型이고 本型은 3% 出現하였다.

3) 前記 2)型과 같이 三分岐되나 2)型과는 反對로 Seg.



3圖 中間葉氣管枝分枝型 (B.는 Bronchi의 略字)

dorsais에 또 한개의 B.7a가 分枝되어 가는型 即 $a+ax$ b型이고 本型은 2%에 不過하였다.

以上으로 볼 때 中間葉에서는 基本型인 B.7a+B.7b型이 95%의 紹對 多數例에서 볼 수 있고 그밖의 型은 少數例의 경우라 할 수 있다. 本型은 本型은 2%에 不過하였다.

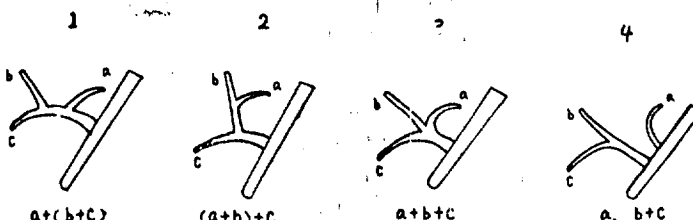
右橫隔葉氣管枝

右橫隔葉氣管枝는 于先 橫隔葉의 上部에 位置하는 (lobi. infe) antevior에 上橫隔葉枝(B. 6)를 分岐하고 肺底에 向하여 Seg. venfrobasalis에 가는 B.8 Seg. laterobasalis에 가는 B.9을 나누고 Seg. dorsobasalis에 가는 B.10으로 되며 이들이 각각 B.6a B.6b B.6c B.8a B.8b B.9a B.9b B.10a B.10b B.10c로 나뉜다. 解剖學的 關係에서 볼 때 橫隔葉의 上部는 肺門보다 後側에 位置하는 故로 B.6은 橫隔葉의 第1 背支枝이다. B.6의 分岐는 大體로 4個型으로 分類하였다(4圖 1~4).

1) B.6a와 B.6b B.6c가 同一枝로 分岐되어 가다가 B.6a와 B.6b+c枝로 2分되고 後者가 B.6b와 B.6c로 갈리는型 즉 $a+(b+c)$ 型 本型은 59% 出現하였으며 이때의 B.6c는 細枝로 分岐되는것도 있었다. 이 型을 B.6의 基本型으로 定하였다.

2) 前記型과 같이 同一枝로 氣管支幹에서 分岐되어 가다가 B.6c와 B.6a+B.6b枝로 2分되고 後者가 B.6a와 B.6b로 分岐되는型 即 $(a+b)+c$ 型이고 本型은 33% 出現하였다.

3) 前記型들과 같이 同一枝로 氣管支幹에서 分岐되어 가다가 B.6a B.6b B.6c가 거기 同時に 分岐하는型 即 $a+b+c$ 型이고 本型은 6% 出現하였다.



4圖 背橫隔右葉氣管支分枝型

4) B.6a와 B.6b+B.6c枝가 각각 別個枝로 氣管支에서 分岐되는型 即 $a,b+c$ 型이고 本型은 2% 出現하였다. 以上으로 볼 때 B.6에서는 單一枝로 氣管支幹에서 分岐하여 이것이 각각 B.6a B.6b B.6c로 갈리는것이 98%였고 二個枝로 (4型) 分岐되어 나오는것은 不過 2% 뿐이었다.

背枝下 橫隔枝는 모든 標本에 出現하였다. (이)는 Aeby의 模型圖에서는 d.2에 該當한다. (2,10)

Seg. ventrobasalis. Seg. laterobasalis. Seg. dorsobasalis에 가는 B8 B9 B10은 第一次로 B8이 分岐되고 다음에 B9를 나눈後 B10으로 되어各 Seg. lateralis. Seg. basalis에 가는 B.8a B.8b Seg. lateralis Seg. basalis에 가는 B.9a B.9b Seg. dorsalis. Seg. lateralis. Seg. medialis. B.10a B.10b B.10c로 나뉜다.

이들의 分岐型은 比較的 單調하고 各區에 가는 主枝는 恒常 獨立的 分岐로 健在하고 다만 小區域枝의 發達에 差가 있었으며 B.8과 B.9에서는 一般的으로 Seg. lateralis에 가는 B.8a와 B.9a가 貧弱하였고 缺如되는例도 있었다. 이들의 分枝는 大體로 5個型으로 分類할 수 있었다(5圖 1~5)

1) B8을 第一次로 分岐하고 B.9+B.10枝로 之後 B.9를 나눈後 肺底에 가서 B10 a.b.c로 갈리고 B.8 B.9가 각각 B.8a B.8b B.9a B.9b로 나뉘는型 即 $B.8+(B.9+B.10)$ 型이고 本型은 72% 出現하였고 이를 基本型으로 定하였다.

2) 前記型과 同一하나 다만 B.9a가 缺如되는型 即 $B.8+(B.9b+B.10)$ 型이고 本型은 16% 出現하였다.

3) 1型과 同一하나 B.10c가 缺如된型 即 $B.8+(B.9+(B.10a+B.10b))$ 型이고 本型은 8% 出現하였다.

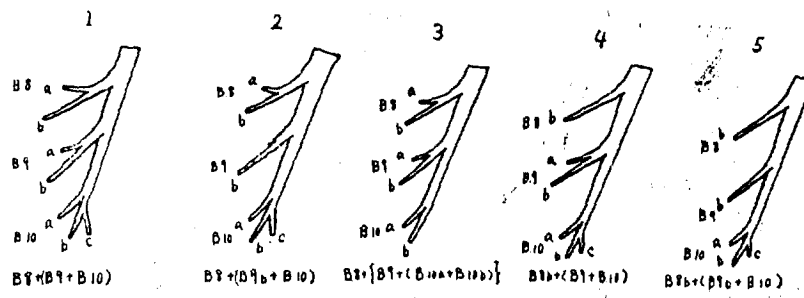
4) B.8a가 缺如된型 即 $B.8b+(B.9+B.10)$ 型이고 本型은 2% 出現하였다.

5) B.8a와 B.9a가 缺如된型이고 本型도 2% 出現하였다.

以上으로 볼 때 5個型 모두 그 分枝自體에 根本的 變異는 없었고 다만 小區域에 가는 枝의 發達에 差가 있는 部分的 變異에 不過하였으며 모든 枝은 完全히 具備한 基本型이 72%를 占하고 있어 매우 規則的이고 單調로운 樹枝型으로 되어있다.

左尖葉 및 心葉氣管枝

左尖葉과 心葉의 氣管支는 前述한바와 같아 肺內에 脣이 가기前에 同一枝로 分岐되어 이것이 尖葉枝와 心葉枝로 갈리는 것이 99例 있는데 著者가 觀察한 100例中 99例에서 尖葉枝와 心葉枝가 각각 別個枝로 左肺氣管支에서 分岐되는 特異한 型이 本型이다(2圖라). 即 尖葉枝가 分枝한後 内側約



5 圖 橫隔氣管支分枝型 (B.는 Bronchi의 略字)

0.8 cm 떨어진 곳에서 心葉枝가 分岐되었다. 이같은例外는 있었으나 左尖葉氣管支와 心葉氣管支는同一枝로分岐하는 故로 葉과 葉을 함께 記述하나 그들의 分岐型은 각각 尖葉 心葉으로 区分하여 分類하였다.

左尖葉氣管支

左尖葉에서는 右尖葉과는 달리 Seg. apicalis와 Seg. dorsalis가 合쳐져 Seg. apicodorsalis로 되어있고 따라서 氣管支도 B.1+2로 分岐되어 이는 人類에서와 同一한 領域分布이다. 따라서 右尖葉氣管支는 Seg. apicodorsalis와 Seg. (lobi. apicalis) ventralis에 가는 B.1+2, B.3로 갈리고 모든例에서 B.3이 B.1+2에 比하여 그 發達이 좋다. 이들이 각각 Seg. apicalis Seg. dorsalis, Seg. horizontalis에 가는 B.1+2a B.1+2b B.1+2c와 Seg. lateralis, Seg. medialis Seg. superior에 가는 B.3a B.3b B.3c로 나뉜다. 이들의 分枝는 大體로 4個型으로 分類할 수 있다(1圖 가~라).

1) B.1+B.2와 B.3이同一枝로 가다가 B.1+2가 分岐된後 B.3이 되며 이들이 각각 B.1+2a B.1+2b B.1+2c B.3a B.3b B.3c로 나뉘는型 즉 B.1+2+B.3
本型은 62% 出現하였으며 이를 尖葉氣管支 分枝의 基本型으로 定하였다.

2) 前記型과 같이同一枝로 가다가 B.1+2a+B.1+2b枝를 分枝하고 B.1+2c+(B.3)枝로 되며 여기서 B.1+2c를 나누고 B.3枝로 되어 이것이 B.3a B.3b B.3c로 나뉘는型 即 (B.1+2 a+b)+{B.1+2c+(B.3)}型이고 本型은 27% 出現하였다.

3) 2)型과 同一한 分岐를 하나 B.3a가 缺如된型 即 (B.1+2 a+b)+{B.1+2c+(B.3b+B.3c)}型이고 本型은 8% 出現하였다.

4) 前記型들과 같이 同二枝로 가다가 B.1+2 a+b枝를 分枝하고 그後 B.1+2 c+B.3a枝를 나누고 B.3b+B.3c枝가 되어 B.3b와 B.3c로 갈리는型 即 (B.1+2 a+b)+{(B.1+2 c+B.3a)+(B.3b+B.3c)}型이고 本型은 5% 出現하였다.

以上으로 볼 때 左尖葉에서는 基本型 (B.1+2)+B.3型(62%)가 多數例 出現한 것으로 (B.1+2 a+b)+(B.1+

2c+(B.3)}型(27%)을 볼 수 있고 그밖의 型은 不過 11%였다.

左心葉氣管支

左心葉氣管支는 B.4와 B.5가 모든例에서同一枝로 左幹氣管支에서 分岐되었으며 B.4는 B.5에 比하여 大體로 그 發達이 좋지 못했다. 이들의 分岐는 大體로 3個型으로 分類할 수 있다(2圖 가~다).

1) Seg. lingualis anterior 및 Seg. lingualis posterior에 가는 B.4와 B.5가同一枝로 分岐되어 가다가 B.4 B.5로 갈리고 이들이 각각 Seg. lateralis, Seg. ventralis, Seg. anterior, Seg. posterior에 가는 B.4a B.4b B.5a B.5b로 나뉘는型 即 B.4+B.5型이고 本型은 77% 出現하였으며 이를 基本型으로 定하였다.

2) 前記型과 같이 B.4와 B.5가同一枝로 分岐하여 가다가 B.4a를 分枝하여 (B.4b+B.5a)+B.5b枝로 되고 이것에서 B.4b+B.5a枝를 分枝하고 B.5b로 되는型 即 B.4a+{(B.4b+B.5a)+B.5b}型이고 本型은 16% 出現하였다.

3) 1)型과 同一한 分岐를 하나 B.4a가 缺如된型 即 B.4b+(B.5a+B.5b)型이고 本型은 7% 出現하였다.

以上으로 볼 때 B.4a가 缺如되는 (7%)型도 있었으나 대부분의例(93%)에서 모든 小區域枝를 具備하였고比較的 單調로운 分枝狀을 보았다.

左橫隔葉管支

左橫隔葉管支는 右橫隔葉과 大同小異한 分枝型을 나타냈으며 規則의이고 單調로운 樹枝型을 보였다.

橫隔葉의 第一背支枝인 B.6에서는 右橫隔葉의 4)型인 a. b+c型은 없었고 第二背支枝인 背枝下 橫隔葉枝은 右橫隔葉에서와 같이 모든標本에서 出現하였고 B.8 B.9 B.10도 右橫隔葉에서와 大同小異한 分枝와 出現을 보였으나 右橫隔葉에서의 5)型인 B.8a와 B.9a가 모두 缺如된型은 없었다. B.6의 分岐型은 大體로 3個型으로 分類할 수 있었다(4圖 1~3 參照).

1) B.6a, B.6b, B.6c가同一枝로 左幹氣管支에서 分岐되어 가다가 B.6a와 B.6b+B.6c枝로 갈리고 後者가 B.6b와 B.6c로 나뉘는型 即 a+(b+c)型이고 本型은 50%

出現하였으며 本型을 基本型으로 定하였다.

2) 前記型과 같이 同一枝로 分岐되어 가다가 B.6c와 B.6a+B.6b 枝로 갈리고 後者가 B.6a와 B.6b로 나뉘는 型 即 (a+b)+c型이고 本型은 39% 出現하였다.

3) 前記型들과 같이 同一枝로 分岐되어 가다가 거이 同時に B.6a B.6b B.6c로 三分枝되는 型 即 a+b+c型이고 本型은 11% 出現하였다.

以上에서 볼 때 左橫隔葉의 B.6에서는 100% 모두 氣幹管支에서 單一枝로 分岐되었으며 右橫隔葉의 B.6에서의 4)型 a+b+c型과 같은 型은 없었고 그밖의 1) 2) 3)型은 모두 右橫隔葉 B.6과 同一型이며 그 出現率도 大同小異하였다. 이들을 右橫隔葉 B.6과 比較하면 다음과 같다.

(左橫隔葉 B.6)	(出現率)	(右葉에 比하여)
a+(b+c)	50%	-9%
(a+b)+c	39%	+6%
a+b+c	11%	+5%

또한 右葉에서와 같이 a+(b+c)型이 基本型이고 (a+b)+c型이 多數例 出現한 型이다. Seg. 'Ventrobasalis seg. Interobasalis seg. dorsobasalis'에 가는 B.8 B.9 B.10의 分枝型은 右橫隔葉에서와 類似하며 그 出現率도 大同小異하다. 이들의 分枝型은 大體로 4個型으로 分類할 수 있다(5圖 1~4 參照).

1) B.8이 左幹氣管支에서 第一次로 갈리고 다음으로 B.9가 幹氣管支에서 分岐된 後 B.10이 肺底에 B.10a B.10b B.10c로 나뉘어 分布하는 型 即 B.8+(B.9+B.10)型이고 本型은 69% 出現하였고 이를 基本型으로 定하였다. 右橫隔葉의 1)型과 同一한 型이며 右橫隔葉에 比하여 3% 적은 出現率이나 大同小異하다.

2) 前記型과 같은 分枝型을 보이나 B.10에서 B.10c가 缺如된 型 即 B.8+(B.9+(B.10a+B.10b))型이고 本型은 16% 出現하였고 右橫隔葉의 3)型과 同一型이며 右橫隔葉에 比하여 8% 많은 出現率을 보였다.

3) 右橫隔葉의 2)型과 같은 型 即 B.8+(B.9b+B.10)型이고 本型은 11% 出現하였고 右下葉에 比하여 5% 적은 出現率을 보였다.

4) 右橫隔葉의 4)型과 같은 型 即 B.8b+(B.9+B.10)型이고 本型은 4% 出現하였고 右下葉에 比하여 2% 많은 出現率을 보였다.

以上으로 볼 때 基本型은 右橫隔葉에서와 同一한 B.8+(B.9+B.10)型이며 그밖의 型도 左右葉 모두 大同小異한 出現率을 보았다.

肺動脈

肺區域動脈은 一般的으로 同名의 肺區域氣管支枝에 隨伴하여 간다. 그러나 때로는 氣管支枝와 떨어져서 가는 것도 있다. 이같은 境遇에도 獨立하여 가는 것은 肺門部

에 隣接한 部位에서 뿐이고 漸次 氣管支支를 向하여 近接하다가 이에 隨伴하여 간다. 또한 肺動脈의 分枝는 반드시 肺氣管支枝의 分枝分파一致하지 않는다.

1肺區에 가는 肺動脈은 普通 1~2本으로 되나 때로는 3本인 것도 있다.

肺動脈은 尖葉에서는 氣管支枝의 上內側 尖心葉에서는 背外側을 가고 있다. 肺區域動脈이 肺區域隔壁을 通過하여 隣接肺區域에 侵入하는 例는 比較的 적으나 때로는 이같은 例도 있었다. 即 A. dorsalis (A.2)의 一部가 A. apicalis (A.1)+A. ventralis (A.3)枝에서 分枝하는 境遇(11%)와 A. dorsalis (A.2)의 一部가 A. apicalis (A.1)에서 分枝하는 境遇(4%)等이 있다.

肺動脈은 그 分枝에 있어 變異가 茲하였으나 肺靜脈에 比하여 比較的 規則的 分枝와 走向을 維持하였으며 特히 尖葉에서 그 分枝에 變異가 茲하였고 心橫隔葉에서는 尖葉에 比하여 複雜한 變異가 적었다.

右尖葉肺動脈

右尖葉에 가는 肺動脈은 Truncus Anterior 와 A. Posterior이 있다. Truncus Anterior는 100% 存在하였으나 A. Posterior은 全例의 21%가 缺如하였다. 다시 말하면 全例中 21%는 右上葉에 가는 肺動脈이 全部 縱隔面에서만 分岐하고 있는 것이다.

Truncus Anterior은 그大多數(96%)가 1本으로 分岐되었으나 少數例(4%)에서는 2本으로 分岐되었다.

右尖葉動脈의 分枝型은 大體로 5個型으로 分類할 수 있었다(6圖 1~5).

1) Truncus anterior이 Seg. apicalis에 가는 肺動脈 A.1과 Seg. ventralis에 가는 肺動脈 A.3가 同一枝로 右肺尖葉氣管支의 前方에서 分岐되고 이것이 第一次로 A.1을 分枝한 後 A.3로 되고 이들이 각각 A. apicalis propiorius (A.1a)와 A. subapicalis ventralis (A.1b), A. anterior vent. lateralis (A.3a)와 A. sup. vent. medialis (A.3b)로 각각 나뉘며 A. posterior이 Seg. dorsalis에 가는 A.2로 되며 이것이 右氣管支와 右尖葉氣管支間을 둘아 B. dorsalis (B.2)에 隨伴하여 가다가 A. subapicalis dorsalis (A.2a)와 A. sup. horizontalis로 分枝되는 型 即 A.1+A.3, A.2型이고 本型은 59% 出現하였으며 本型을 右尖葉肺動脈 分枝의 基本型으로 定하였다.

2) Truncus anterior이 A.1 A.2 A.3의 共同幹이 되어 가다가 第一次로 A.2를 分枝하고 A.1+A.3枝가 되고 이것이 다시 A.1과 A.3로 心枝되며 이들이 각각 A.2a A.2b A.1a A.1b A.3a A.3b로 나뉘는 型 即 A.2+(A.1+A.3)型이고 本型은 22% 出現하였다.

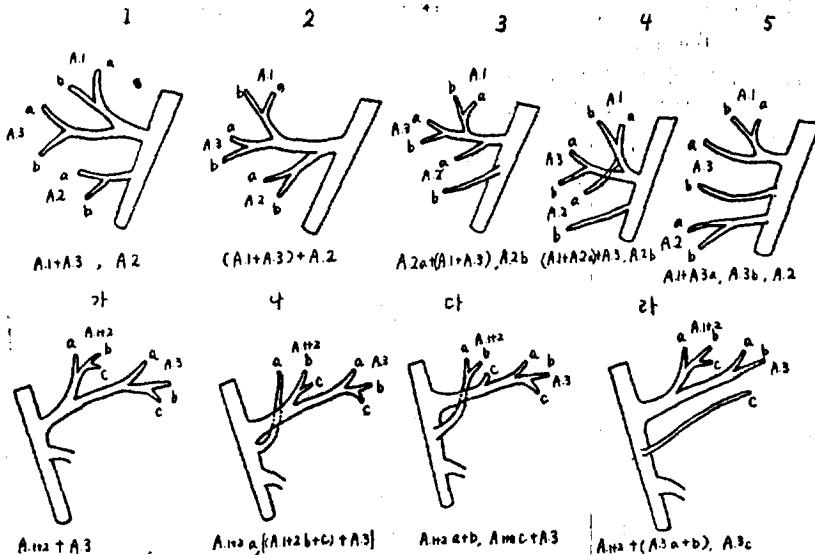
3) Truncus anterior이 A.1a+A.3)이 되어 가다가 A.2a를 分枝하고 A.1+A.3로 되고 이것이 다시 A.1과 A.3를 分枝되며 이들이 각각 A.1a와 A.1b A.3a와 A.3b로 나뉘는 型 即 A.1a+(A.3+A.2a)型이고 本型은 19% 出現하였다.

b로 나뉘며 A. Posterior이 右肺管支와 右尖葉肺管支間을 둘어 A.2b로 되는型 即 A.2a+(A.1+A.3), A.2b型이고 本型은 11% 出現하였다.

4) Truncus anterior이 A.1+A.3幹으로 되고 이것이 A.1과 A.3로 分枝되어 A.1에서 A.2a를 分枝하고 A.1 A.3型 각각 A.1a A.1b 및 A.3a A.3b로 나뉘는型 即

(A.1+A.2a)+A.3, A.2b型이고 本型은 4% 出現하였다.

5) Truncus anterior이 A.1+A.3a枝와 A.3b의 2個枝로 肺脈幹에서 分岐되어 가다가 前者에서 A.1과 A.3a가 分枝되고 A.1에서 A.1a와 A.1b로 나뉘며 A. posterior, A.2로 되며 이것이 A.2a와 A.2b로 分枝하는型 即 A.1+A.3a, A.3b, A.2型이고 本型은 4% 出現하였다.



6圖 右少葉 및 左少葉 肺動脈 分枝型 (A.는 Arteri의 略字)

右心葉肺動脈

右心葉肺動脈의 分枝는 比較的 右尖葉에 比하여 複雜하지 않으며 이를 3個型으로 分類할 수 있다(7圖 가~나).

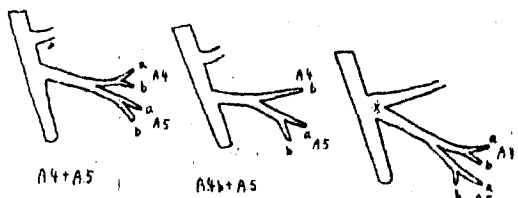
1) Seg. medius lateralis에 가는 A.4와 Seg. medius medialis로 가는 A.5가 同一幹으로 分岐되어 이것이 A.4와 A.5로 分枝되고 이들이 各各 A. lateralis (A.4a)와 A. medialis (A.4b), A. Superior (A.5a)와 a. inferior (A.5b)로 나뉘는型 即 A.4+A.5型이고 本型은 79% 出現하였으며 이를 右心葉肺動脈 分枝의 基本型으로 定하였다.

2) A.4와 A.5가 同一幹으로 分岐되나 A.3와 A.5a A.5b가 同時に 三分岐되고 A.4에서 A.a와 A.4b가 나뉘는型 即 A.4+A.5a+A.5b型이고 本型의 出現率은 13%이다.

3) 이亦是 前記型들과 같이 A.4와 A.5가 同一枝로 分岐되나 A.4a가 缺如되는型 即 A.4b+A.5型이고 本型은 8% 出現하였다.

以上으로 볼 때 右肺心葉肺動脈은 全例에 있어 A.4+A.5로 右肺動脈幹에서 分岐되어 가다가 이들이 細分되는 過程에서 變異를 나타냈으나 基本型以外의 型은 21%에 不過하였다.

가 나 나 다



7圖 左心葉肺動脈分枝型 (A.는 Arteri의 略字)

右中間葉肺動脈

中間葉에서는 2個型으로 分類되었으며 이것도 絶對多數(92%)를 占하는 基本型과 不過 8%밖에 없는 型으로 되었다(3圖 參照).

1) a. dorsalis (A.7a)와 a. ventralis (A.7b)가 同一幹으로 分岐하는型 即 a+b型이고 本型은 92% 出現하였으며 本型을 基本型으로 定하였다.

2) A.7a와 A.7b가 各各 別個의 獨立된 枝로 肺動脈幹에서 分岐되는型 即 a,b型이고 本型은 8% 出現하였다.

以上으로 볼 때 右中間葉의 肺動脈(A.7)은 A.7a와 A.7b가 同一幹으로 分岐되는型과 이들이 各各 獨立된 枝로 分岐되는型으로 二大別 할 수 있었고 A.7이 下葉에 屬하는 人肺에서와 같이 A.7+A.8型은 없었다.

右橫隔葉肺動脈

Seg. Superior에 가는 a. anterior (A.6)은 下葉의 背葉의 背支枝이다. 右氣管支에서의 分岐部位는 心葉枝의 後方이며 出口는 背側이다. 이 動脈의 分枝는 5個型으로 分類할 수 있었다(4圖 參照).

1) 内側에 向하는 a. anterior (A.6a) 上側에 向하는 A. lateralis (A.6b) 外側에 向하는 A. medialis (A.6c)가 單一枝로 分岐되어 이것에서 一次로 A.6c가 分枝되고 A.6a+A.6b枝로 가다가 A.6a와 A.6b로 나뉘는型 即 c+(a+b)型이고 本型은 46%의 出現하였다며 이를 다음의 2)型과 함께 A.6(右肺)의 基本型으로 定하였다.

2) 本型도 單一枝로 分岐된 前記型과 同一하나 前者와 的境遇와는 反對로 一次로 A.6a가 分枝되고 A.6b+A.6c枝로 가다가 A.6b와 A.6c로 나뉘는型 即 a+(b+c)型 本型은 1)型과 大差없는 41% 出現하였다며前述한 바와 같이 亦是 A.6(右肺)의 基本型으로 定하였다.

3) 前記型들과 같이 單一枝로 分岐되어 가다가 기의 同時に A.9a A.9b A.10가 三分되는型 即 a+b+c型이고 本型은 7% 出現하였다.

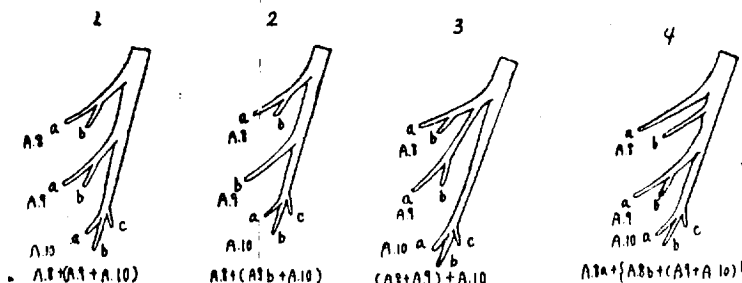
4) 前記型들과는 相違한 型으로 A.6a가 獨立枝로 分

岐되고 A.6b와 A.6c가 同一枝로 分岐되는 二枝型이다. 即 a. b+c型이고 本型은 4% 出現하였다.

5) 4)型과 같은 二枝型이나 이와는 反對로 A.6c가 獨立枝로 되고 A.6a와 A.6b가 同一枝로 分岐되는型 即 a+b+c型이고 本型은 不過 2% 出現하였다. 以上으로 볼 때 1)型과 2)型은 기의 同一率로 (40% 以上) 出現하였으므로 基本型을 2個型으로 定하였다 또한 5個型으로 나눴으나 單枝型과 二枝型으로 區分할 수 있다. 前者は 94%로 大多數例에서 볼 수 있었고 後者は 不過 6%였다. 따라서 A.9(右肺)에서는 單一枝로 肺動脈幹에서 分岐됨이 一般的인 型임을 알 수 있다.

右橫隔葉肺動脈의 Seg. ventrobasalis, Seg. laterobasalis, Seg. dorsobasalis에 가는 A.8 A.9 A.10의 分枝는 非常 單調하다. 이들은 4個型으로 分類할 수 있다(8圖 1~4).

1) A.8을 一次로 分岐하고 다음으로 A.9 A.10으로 되며 이들이 각각 A. lateralis (A.8a), A. basalis (A.8b), A. lateralis (A.9a), A. basalis (A.9b), A. dorsalis (A.10a), A. lateralis (A.10b), A. medialis (A.10c)로 나뉘는型 即 A.8+(A.9+A.10)型이고 本型은 85% 出現하였다.



8圖 右橫隔葉肺動脈分枝型 (A.는 Arteri의 略字)

고 이를 基本型으로 定하였다.

2) 1)型과 同一한 分枝狀을 보이나 A.9a가 缺如된型 即 A.8+(A.9b+A.10)型이고 本型은 11% 出現하였다.

3) A.8에서 A.9가 分枝된型이며 이들에서 각각 A.8a A.8b, A.9a, A.9b가 갈리는型 即 (A.8+A.9)+A.10型이고 本型은 3% 出現하였다.

4) A.8a와 A.8b가 別個枝로 右肺動脈幹에서 각각 分岐되는型 即 A.8a+(A.8b+A.10)型이고 本型은 1%였다.

以上으로 볼 때 基本型인 A.8+(A.9+A.10)型이 85%이고 其他型은 15%에 不過하였다.

左尖葉肺動脈

大體로 4個型으로 分類할 수 있었다(6圖 가~라).

1) Seg. apicodorsalis에 가는 A.1+2와 Seg. ventralis에 가는 A.3가 同一枝로 肺動脈幹에서 分岐되어 가다가

A.1+2가 第一次로 分岐된 後 A.3로 되며 이들이 각각 A. apicalis (A.1+2a), A. Subapicalis dorsalis (A.1+2b), A. Sup. horizontalis (A.1+2c)로 나뉘는型 A. lateralis (A.3a), A. medialis (A.3b), A. Anterior (A.3c), 即 (A.1+2)+A.3型이고 本型은 79% 出現하여 이를 基本型으로 定하였다.

2) A.1+2와 A.3이 同一枝로 分岐되나 A.(1+2)a가 그 基部에서 分岐되어 가며 主幹은 (A.3+(A.1+2)b,c)로 되여 가다가 (A.1+2)b,c와 A.3로 分枝되고 이들이 A.3a와 A.3b A.3c로 나뉘는型 即 (A.1+2)a, (A.1+2)b,c+A.3型이고 本型은 11% 出現하였다.

3) (A.1+2)a+b의 A.1+2c+A.3가 別個枝로 分岐되고 이들이 각각 (A.1+2)a, (A.1+2)b, (A.1+2)c와 A.3a A.3b A.3c로 나뉘는型 即 (A.1+2)a+b, (A.1+2)c+A.3型이고 本型은 6% 出現하였다.

4) A.1+2 와 A.3a, A.3b 가同一枝로 分岐되어 각각 A.1+2a,b,c 와 A.3a,b 로 나뉘는 1)型과同一하나 別個의 細枝가 分岐되어 A.3c에 分布하는型 即 (A.1+2)+A.3a+b, A.3c型이고 本型은 3% 出現하였다.

5) 本型은 100例中 單 1例에서 볼 수 있었으나 매우興味 있는 貨重한 材料로 생각된다. A.1+2 와 A.3, A.4 A.5 가同一幹으로 分岐되어 約 0.5 cm 간後 (A.1+2)+A.3幹과 A.4+A.5로 分岐되어 이들이 각각 1)型에서와同一한 分岐過程을 取하는型 即 [(A.1+2)+A.3]+(A.4+A.5)型이다(7圖).

以上으로 볼 때 尖葉(左肺) 肺動脈이 單一枝로 分岐하는것이 90%를 占하였고 二枝로 分岐되는 二枝型은 不過 9%였다. 左尖葉의 肺動脈과 左心葉의 肺動脈의 同一幹으로 分岐되는 特異한型이 100例中 1例 即 1% 볼 수 있었다.

左心葉肺動脈

左心葉肺動脈은 大體로 2個型으로 分類할 수 있었다(7圖 가~나).

1) Seg. lingualis anterior에 가는 A.4 와 Seg. lingualis posterior에 가는 A.5가同一枝로 分岐되어 달리다가 A.4와 A.5로 갈리고 이들이 각각 A. lateralis (A.4a), A. ventralis (A.4b) A. anterior (A.5a), A. posterior (A.5b)로 나뉘는型 即 A.4+A.5型 本型은 94% 出現하였으며 이를 基本型으로 定하였다.

2) 前記한 型과同一하나 다만 A.4a가 缺如하는型 即 A.4b+A.5型이고 本型은 6% 出現하였다.

以上으로 볼 때 左心葉에서는 基本型以外의 型은 1個型 뿐이있고 그 出現率도 6%에 不過하였다.

左橫隔葉肺動脈

Seg. posterioris anterior로 가는 A.6은 左肺에서는 左上葉氣管支岐가 分岐된 後側에서 分岐하여 出口는 左氣管支의 背側이다. 그 分岐型은 右肺에서와 같이 5個型으로 分類할 수 있으며 그 分岐型도 右肺와 같은 類型이며 그 出現率의 順位도同一하나 그 比率에多少의 差가 있을 뿐이었다. 이를 5個型의 出現率과 右葉에서의 出現率을 比較하면 다음과 같다(4圖 參照).

1) A.6c+(A.6a+A.6b)型	56%	右葉에 比하여 +10%
2) A.6a+(A.6b+A.6c)型	26%	" -15%
3) A.6a+A.6b+A.6c型	11%	" + 4%
4) A.6a+A.6b, A.6a型	5%	" + 1%
5) A.6a+A.6b, A.6c型	2%	" ± 0%

以上으로 볼 때 右肺橫隔葉의 肺動脈分岐의 基本型은 56%를 占하는 A.6c+(A.6a+A.6b)型이다. 또 單枝型이 93%로서 右葉에 比하여 1%의 減少를 보였으나 大同小異하였고 二枝型은 7%로서 右葉에 比하여 1% 많았다. 한편 右葉 左葉 모두 基本型은 同一型이다.

Seg. ventrobasis, Seg. laterobasis, seg. dorsobasis에 가는 A.8 A.9 A.10의 分岐는 左肺를 和 右肺隔葉에서와 大同小異하였으며 이들을 3個型으로 分類할 수 있었다(8圖 參照).

1) A.8이 第一次로 分岐되어 0.8~2.5 cm 後位에서 A.9가 分岐되고 A.10이 가다가 各各 A.8a A.8b A.9a A.9b A.10a A.10b A.10c로 나뉘는 型으로 右肺隔葉에서와 大同小異하게 84% 出現하였으며 本型을 右肺隔葉에서와 같이 基本型으로 定하였다.

2) A.8이 分岐되고 여기에서 A.9가 갈리고 各各 A.8a, A.8b A.9a A.9b로 나뉘며 A.8a+A.9枝를 分岐한後 A.10이 되여 이것이 A.10a, A.10b A.10c로 나뉘는 型 即 (A.8+A.9)+A.10型이고 本型은 9% 出現하였으며 右肺隔葉에서의 3% 보다는 多少 많았으나 이亦是 많은 出現은 아니었다.

3) A.8이 第一次로 分岐되고 1)型에서와 같이 A.9+A.10으로 되나 A.9a가 缺如하는型 即 A.8+(A.9b+A.10)型이고 本型은 7% 出現하였으며 右肺隔葉의 11%보다多少 저었으나 顯著한 差는 없었다.

以上으로 볼 때 左肺隔葉에서도 A.8+(A.9+A.10)型이 고 基本型이고 그 出現率도 右肺隔葉과 大同小異하였다. 右葉에서 單一例 있었던 A.8a와 A.8b가 各各 別個枝로 分岐되는 型은 左肺隔葉에서는 볼 수 없었으나 그 바의 型의 出現率도 右肺隔葉과 큰 差가 없었다.

肺靜脈

肺靜脈枝는 肺區域의 周邊을 달리며 이것이 細分되어 小葉의 周邊에 到達한다. 또한 이들의 分岐는 變異가 大端이 甚하다. 肺靜脈은 植常 氣管支枝와 肺動脈과 多少 멀어져 가며 氣管支枝의 內後側에 位置한다.

右尖葉肺靜脈

右尖葉肺靜脈은 6個型으로 分類하였다(9圖 1~6).

Seg. apicalis에 가는 V.1은 A.1 및 氣管支枝의 側後方은 上向하여 달리며 肺尖部에 到達한다. Seg. dorsalis에 가는 V.2는 一般的으로 尖葉靜脈中 가장 細枝며 心葉과 橫隔葉의 間隙近處外側을 달린다. Seg. ventralis에 가는 V.3은 心葉과의 間隙近處腹側을 간다.

1) 尖葉靜脈이 單一枝로 分岐하여 가다가 거의 同時に 三分되며 Seg. apicalis에 가는 V.1 Seg. dorsalis에 가는 V.2 Seg. Ventralis에 가는 V.3로 分岐되는型 即 V.1+V.2+V.3型이고 本型은 77% 出現하였으며 이를 尖葉肺靜脈의 基本型으로 定하였다.

2) 三個의 別個枝로 分岐되어 오는型이다. 即 V.1 V.3가同一枝로 分岐되어 가다가 V.3a(V. lateralis)를 나누고 V.1으로 되여 가다가 V.1a(V. apicalis propiorius) V.1b'(V. Ventralis)로 分岐되고 V.3b(V. medialis)와 V.2가 各各 別個枝로 分岐되어 가다가 V.2에서 V.2a

(V. dorsalis)와 v.b (V. horizontalis)로 나뉘는 即型 V.1 + V.3a, V.3b, V.2型이고 本型은 9% 出現하였다.

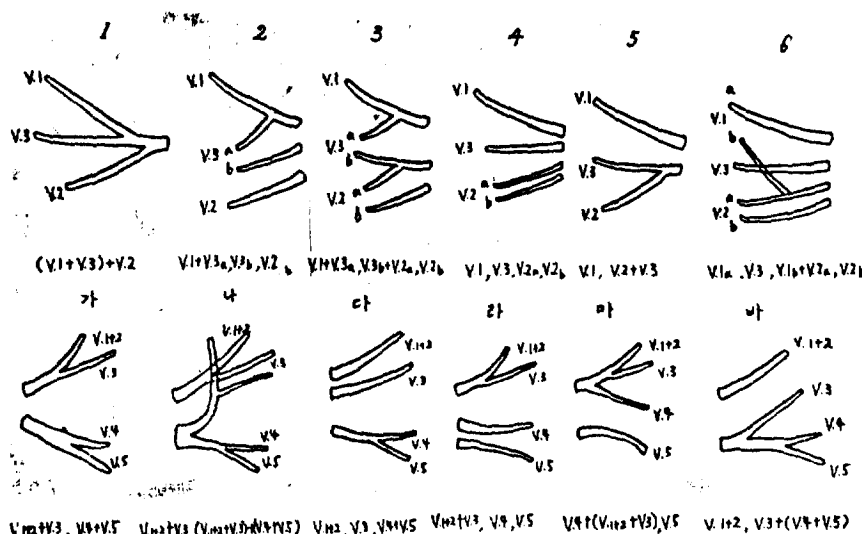
3) 前記型과 같이 三個의 別個枝로 分岐되어 오는型이다. 即 V.1과 V.3a가 同一枝로 分岐되고 V.3b와 V.2a가 亦是 同一枝로 分岐되어 V.2b가 別個枝로 分岐되는型 即 V.1+V.3a, V.3b+V.2a, V.2b型이고 本型은 5% 出現하였다.

4) 四枝型이며 V.1이 獨立된 枝로 分岐되어 가다가 V.1a와 V.1b로 나뉘고, V.3 亦是 別個枝로 分岐되어 가다가 V.3a와 V.3b로 나뉘며, V.2a와 V.2b가 각각 別個의 枝로 分岐되는型 即 V.1, V.3, V.2a, V.2b型이고 本型은 4% 出現하였다.

5) 二枝型이며 前記型과 같이 V.1이 獨立된 枝로 分岐되고 V.3과 V.2가 同一枝로 分岐되어 가다가 각각 V.3a, V.3b, V.2a, V.2b로 나뉘는型 即 V.1, V.2+V.3型이고 本型은 3% 出現하였다.

6) 四枝型이며 V.1a가 獨立된 枝로 分岐되고 V.3 亦是 別個枝로 分岐되어 가다가 V.3a와 V.3b로 나뉘고 V.1b와 V.2a가 同一枝로 分岐되어 가다가 V.1a를 나누며 V.2b는 別個枝로 分岐되는型 即 V.1a, V.3, V.1b + V.2a, V.2b型이고 本型은 2% 出現하였다.

以上으로 볼 때 右尖葉肺靜脈은 그 變異가 大端히 複雜하였다. 그러나 이들을 分類하여 보면 V.1+V.2+V.3型이 77%의 多數例에서 볼 수 있었으며 餘他型은 5個型을 合쳐도 23%에 不過하였다. 또한 이들中單枝型은 著者가 基本型으로 定한型이며 77%이고 二枝型이 3% 三枝型이 14% 四枝型이 6%임을 알 수 있다. 他肺區의 隔壁을 通過하여 侵入하는 境遇는 動脈에서와 같이 比較的 그 例가 적었으나 16例에서 볼 수 있었다. (V.1+V.3a, V.3b, V.2型 9%, V.1+V.3a, V.3b+V.2a, V.2b型 5%, V.1a, V.3, V.1b+V.2a, V.2b型 2%)



9圖 左葉右葉 및 左葉肺靜脈 分枝型 (V.는 Vein의 略字)

右心葉肺靜脈

右心葉肺靜脈의 分枝는 6個型으로 分類할 수 있었다 (10圖 1~6).

1) Seg. medius lateralis와 Seg. medius medialis에 가다가 V.4, V.5가 同一枝로 分岐되고 이들이 V.4, V.5로 합리고 이들이 각각 V. lateralis (V.4a), V. medialis (V.4b), V. anterior (V.5a), V. posterior (V.5b)로 나뉘는 型 即 V.4+V.5型이고 本型은 41% 出現하였으며 이를 基本型으로 定하였다.

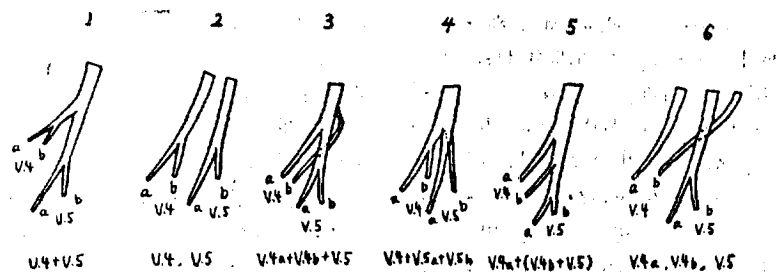
2) V.4와 V.5가 각각 別個枝로 分岐되고 이들에서 각각 V.4a, V.4b와 V.5a, V.5b로 나뉘는型 即 V.4 V.5型이고 本型은 23% 出現하였다.

3) V.4와 V.5가 1)型과 같이 同一枝로 分岐되어 가다가 V.4a, V.4b, V.5가 同時に 分岐되는 型 即 V.4a + V.4b+V.5型이고 本型은 18% 出現하였다.

4) 前記한 3)型과 같이 同一枝로 分岐되어 가다가 前記型과는 反對로 V.5a, V.5b, V.5가 同時に 分岐되는 型 即 V.4+V.5a+V.5b型이고 本型은 11% 出現하였다.

5) 前記한 1), 3), 4)型과 같이 同一枝로 分岐되어 가다가 第一次로 V.4a를 分岐하고 V.4b+V.5枝로 되어 이것에서 V.4b가 질리고 V.5枝가 되어 V.5a, V.5b로 나뉘는型 即 V.4a+(V.4b+V.5)型이고 本型은 6% 出現하였다.

6) 本型은 單 1例 뿐이었으나 前記型들과는 相違한



10圖 右心葉 및 肺靜脈 分枝型 (V.은 Vein의 略字)

分枝型인 三枝型이다. V.4a 와 V.4b 가 각각 個別枝로 心葉에 들어오고 V.5 도 獨自의으로 分枝되어 오는型 即 V.4a V.4b, V.5型이고 本型은 1% 出現하였다.

以上과 같은 分枝型 分類에서 볼 때 右心葉肺靜脈의 分枝는 6個型이나 單枝型이 76%(1.2.4.5型)이고 二枝型이 23%(2型) 三枝型(6型)은 1%이다.

右中間葉肺靜脈

右中間葉의 肺靜脈은 比較的 單調로운 分枝를 보였으며 이를 大體로 2個型으로 分類할 수 있었다. (3圖参照)
1) Seg.dorsalis 와 Seg.ventralis에 가는 V.7a 와 V.7b가同一枝로 分岐되어 가다가 V.7a 와 V.7b로 二分되는型 即 V.7a+V.7b型이고 本型은 93% 出現하였으며 이를 右中間葉肺靜脈의 基本型으로 定하였다.

2) V.7a 와 V.7b가 각각 別個枝로 氣管支幹에서 分岐되는型 即 V.7a, V.7b型이고 本型은 7% 出現하였다.
以上으로 볼 때 中間葉肺靜脈은 單分岐型(1型)과 二枝型(2型)으로 區分할 수 있다.

右橫隔葉肺靜脈

右橫隔葉의 肺靜脈은 右尖葉의 肺靜脈의 分枝에 比하여 比較의 單調로운 便이다. V.6은 氣管支와 肺動脈의 後側을 上向하여 가며 V.8은 比較의 양이 外側을 下向하며 V.9는 多少깊이 外側을 下向하고 V.10은 比較의 깊이(深) 下向한다. 背支枝인 Seg. anterior, Seg. lateralis Seg. medialis에 가는 V.6a V.6b V.6c의 分枝는 3個型으로 分類하였다(4圖 參照).

1) V.6a V.6b V.6c가同一枝로 分岐되어 가다가 V.6a가 第一次로 갈리고 V.6b+V.6c型로 되어 여기서 V.6b와 V.6c로 나뉘는型 即 V.6a+V.6b+V.6c型이고 本型은 47% 出現하였으며 이를 基本型으로 定하였다.

2) 前記枝과 같이同一枝로 分岐하나 V.6c가 第一次로 갈리고 V.6a+V.6b枝로 되어 이것이 V.6a 와 V.6b로 나뉘는型 即 (V.6a+V.6b)+V.6c型이고 本型은 前記型과 大同小異한 41% 出現하였으며 本型은 前記型과 함께 基本型으로 定하였다.

3) V.6a V.6b V.6c가同一枝로 分岐되어 가다가 거의 同時に V.6a V.6b V.6c로 三分되는型이고 本型은 12%

出現하였다.

以上으로 볼 때 Seg. anterior에서 모든例에서 單一枝로 分岐하여 가다가 이들이 각각 갈리는 過程에서 分岐하는 順位에 差가 있을 뿐이다.

Seg. ventrobasis, Seg. laterobasis, Seg. dorsobasis에 가는 V.8 V.9 V.10의 分岐型은 4個型으로 分類하였다(11圖 1~4).

1) V.8 V.9 V.10이同一枝로 分岐되어 가다가 于先 V.8을 나누고 V.9+V.10枝로 되어 이것이 V.9과 V.10으로 分岐되고 이들이 각각 V.8a V.8b V.9a V.9b V.10a V.10b V.10c로 나뉘는型 即 V.8+(V.9+V.10)型이고 本型은 80% 出現하였으며 이를 基本型으로 定하였다.

2) 本型도同一枝로 分岐되어 가다가 (V.8+V.9)型와 V.10으로 被り며 V.8+V.9型에서 V.8과 V.9로 分岐되고 이들이 각각 V.8a V.8b V.9a V.9b V.10a V.10b V.10c로 나뉘는型 即 (V.8+V.9)V.10型이고 本型은 12% 出現하였다.

3) V.8 V.9 V.10이 同時に 分岐되는型 即 V.8+V.9+V.10型이고 本型은 4% 出現하였다.

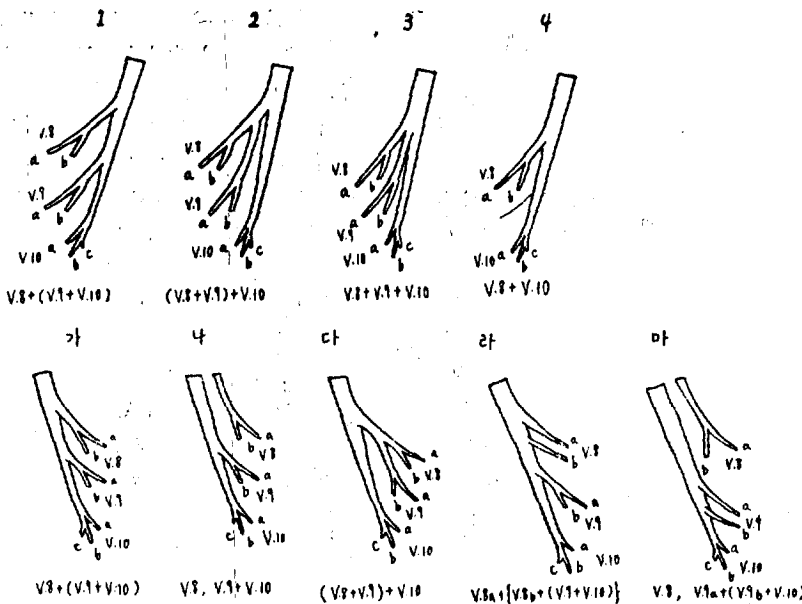
4) 이亦是同一枝로 分岐되어 가다가 第一次로 V.8을 나누고 前記型들과는 달리 完全한 V.9가 갈리지 않고 몇개의 細枝가 Seg. laterobasis에 가고 V.10이 되는副 即 V.8+V.10型이고 本型은 4% 出現하였다.

以上으로 볼 때 그 分岐가 比較의 單調롭고 基本型인 1)型이 80%로 斷然 많았다.

左尖葉 및 心葉肺靜脈

Seg. apicodorsalis에 가는 V.1+2는 Seg. apicalis Seg. (subapicalis) dorsalis, Seg. horizontalis에 가는 V.1+2a V.1+2b V.1+2c로 被り고 Seg. (subanterior) ventralis에 가는 V.3는 分枝後 復腹側을 向하여 가다가 Seg. (Sup. Ventr.) lateralis Seg. (Sup. Ventr.) medialis Seg. (Sup. Ventr.) Superior로 가는 V.3a V.3b V.3c로 갈린다.

Seg. lingualis anterior은 Seg. lingualis posterior에 가는 V.4와 V.5는 Seg. lateralis ventralis Seg. (Sup.) ventralis에 가는 V.4a V.4b와 Seg. superior Seg. inferior



11圖 右橫隔葉과 左橫隔葉 肺靜脈 分岐型 (V.은 Vein의 略字)

에 가는 V.5a V.5b로 나뉜다. 이들의 分枝는 6個型으로 “分岐枝”이 있다(9圖 가~바).

1) V.1+2와 V.3가同一枝로 分岐되어 가다가 V.1+2와 V.3로 갈리고 이들이 각각 V.1+2a V.1+2b V.1+2c V.3a V.3b V.3c로 나뉘고 V.4와 V.5枝가 別個枝로 分岐되어 가다가 V.4 V.5로 갈리며 여기서 각각 V.4a V.4b V.5a V.5b로 나뉘는型 即 $(V.1+2)+V.3$ V.4 V.5型이고 本型은 75% 出現하였다며 이를 基本型으로 定하였다.

2) 尖葉靜脈은 前記型과 같이 $(V.1+2)+V.3$ 로 分岐되어 가나 V.4+V.5의 基部에서 上葉의 V.1+2와 V.3에 가는 分枝가 생기는型 即 $(V.1+2)+V.3$, $(V.1+2)+V.3+(V.4+V.5)$ 型이고 本型은 15% 出現하였다.

3) V.1+2와 V.3가 각각 別個枝로 分岐되고 心葉에 가는 V.4와 V.5가 V.4+V.5枝로 分岐되는型 即 V.1+2, V.3 V.4+V.5型이고 本型은 6% 出現하였다.

4) 尖葉의 V.1+2와 V.3는同一枝로 分岐하는 $(V.1+2)+V.3$ 로 되나 V.4와 V.5가 각각 別個枝로 分岐되는型 即 $(V.1+2)+V.3$, V.4, V.5型이고 本型은 2% 出現하였다.

5) $(V.1+2)+V.3$ 의 基部에서 V.4가 分岐되고 V.5는 別個枝로 分岐되는型 即 $V.4+((V.1+2)+V.3)$, V.5型이고 本枝은 單 1例 뿐이다.

6) V.1+2가 獨立된 枝로 分岐되고 V.4+V.5의 基部에서 V.3가 分岐되는型 即 V.1+2, V.3+(V.4+V.5)型이고 本型亦是 1例밖에 없었다.

以上으로 볼 때 尖葉의 肺靜脈枝 V.1+2, V.3가 單

一枝로 分岐되는 것이 92% [1], 2), 4)型] V.4와 V.5가 單一枝로 分岐되는 것이 81% [1], 3)型] 他肺葉區에 侵入하는 것이 17% [2], 5), 6)型] V.1+2와 V.3이 각각 別個枝로 分岐되어 나오는 것이 6% [3)型]이고 V.4와 V.5가 각각 別個型로 分岐되는것이 2% [4)型] 있었다.

左橫隔葉肺靜脈

Seg. (lobus, diaphragmaticus) anterior로 가는 V.6은 Seg. superior Seg. lateralis, Seg. medialis로 각각 가는 V.6a V.6b V.6c로 나뉘어 이들의 分岐型은 右橫隔葉과 같은 型으로 3個型이며 다만 그 出現率에多少 差가 있었으나 그 程度도甚하지 않았다(12圖 가~다).

1) V.6a+(V.6b+V.6c)型	58%
(右葉에 比하여	+11%
2) (V.6a+V.6b)+V.6c型	33%
(右葉에 比하여	- 8%
3) V.6a+V.6b+V.6c型	9%
(右葉에 比하여	- 3%

따라서 左橫隔葉의 V.6의 基本型도亦是 右葉에서와 같이 V.6a (V.6b+V.6c)副과 (V.6a+V.6b)+V.6c으로 定하였다.

Seg. ventrobasis, Seg. laterobasis, Seg. dorsobasis에 가는 V.8 V.9 V.10은 각각 右橫隔葉에서와 같이 V.8a V.8b V.9a V.9b V.10a V.10b V.10c로 나뉘고 이들의 分岐型도 右橫隔葉과類似하나 左橫隔葉에 있는 V.8이 獨立된 枝로 分岐하는 例가 22% [1], 5)型] 나타난 것은 左葉파는 對照的이였다. 그러나 基本型은 亦是 V.8

+V.9+V.10)型이었고 이의 出現率도 57%로서 右葉에서의 80% 보다는 훨씬 적었으나 過半數例에서 볼 수 있었다.

이들의 分枝는 5個型으로 分類할 수 있었다(11圖 참조).

1) V.8 V.9 V.10이 同一枝로 分岐되어 가다가 第一次로 V.8을 나누고 V.9+V.10로 되며 이것이 V.9와 V.10으로 된 後 각각 V.8a V.8b V.9a V.9b V.10a V.10b V.10c로 갈리는型 即 V.8+(V.9+V.10)型이고 本型은 57% 出現하였으며 右橫隔葉에서와 같이 基本型으로 定하였다.

2) V.8이 獨立된 枝로 分岐되어 V.8a V.8b로 되고 V.9+V.10枝가 別途로 分岐되어 이것이 V.9와 V.10으로 갈리며 여기서 각각 V.9a V.9b V.10a V.10b V.10c로 나뉘는型 即 V.8, V.9+V.10型이고 本型은 17% 出現하였다.

3) V.8 V.9 V.10이 同一枝로 分岐되어 가다가 V.8+V.9가 갈리고 이것이 V.8과 V.9로 된 後 여기서 각각 V.8a V.8b V.9a V.9b로 나누고 V.10에서 V.10a V.10b V.10c로 갈리는型 即 (V.8+V.9)+V.10型이고 本型은 12% 出現하였다.

4) 前記型과 같이 V.8 V.9 V.10이 同一枝로 分岐되어 가다가 V.8a와 V.8b는 順次로 각각 別個枝로 分岐하고 V.9+V.10枝로 되어 이것이 V.9 V.10로 갈린 後 V.9a V.9b V.10a V.10b V.10c로 나뉘는型 即 (V.8+V.9)+(V.9b+V.10)型이고 本型은 9% 出現하였다.

5) 2)型에서와 같이 V.8이 獨立된 枝로 分岐되어 V.8a V.8b로 나누고 V.9+V.10가 別個枝로 分岐되어 가다가 V.9a V.9b의 順序로 각각 別個의 枝를 나누며 V.10이 되어 이것이 V.10a V.10b V.10c로 나뉘는型 即 V.8, V.9a+(V.9b+V.10)型이고 本型은 5% 出現하였다.

以上으로 볼 때 左橫隔葉에서도 右橫隔葉에서와同一한 V.8+(V.9+V.10)型이 基本型임을 알 수 있었으나 이들의 出現率에 있어서 그 差가 顯著하였다. 即 右橫隔葉의 80%에 對하여 57%의 出現率을 보였고 2)型 V.8, V.9+V.10型은 右橫隔葉에서는 볼 수 없었으나 3)型 (V.8+V.9)+V.10型은 右橫隔葉과同一한 12%의 出現率을 보았다.

IV. 考 察

개(犬)의 肺臟도 人肺와 同一한 肺區域으로 區分할 수 있으며 氣管支枝는 主軸狀 分岐를 한다. 이는 中久善⁽²⁸⁾도 이미 指摘한 바 있다.

肺動脈은 一般的으로 氣管支枝에 隨伴하여 달리나 氣管支枝와 떨어져서 가는 것도 있다. 이같은例에서도 獨

立하여 가는 것은 肺門部에 隣接한 部位에서 뿐이고 漸次 氣管支枝쪽에 向하여 近接하다가, 이에 隨伴하여 간다. 肺靜脈은 恒常 氣管支枝 肺動脈에서多少 떨어져서 가며 氣管支枝의 内側面에 位置한다.

背枝下 橫隔葉區는 모든 標本에서 出現하였으며 이는 中久善⁽²⁸⁾의 研究結果와 一致하였다. 氣管支枝와 脈管系의 分枝는 반드시 一致하지는 않고 脈管系의 分枝狀의 變異는 氣管支枝보다甚하고 靜脈에서 더욱 顯著하였다.

各葉에서의 分枝型을 보면

右尖葉

氣管枝 B.2+(B.1+B.3)型 (50%)外 4個型

肺動脈 A.2+(A.1+A.3)型 (59%)外 4個型

肺靜脈 V.1+V.2+V.3型 (77%)外 5個型

氣管枝, 肺動脈, 肺靜脈 모두 多樣性 分枝를 보였으며 그 變異의 程度도 顯著하였다. 그러나 基本型은 50~77%로 過半數量 占하고 있었다.

右心葉

氣管枝 B.4+B.5型 (81%)外 2個型

肺動脈 A.4+A.5型 (79%)外 2個型

肺靜脈 V.4+V.5型 (41%)外 5個型

氣管枝, 肺動脈, 肺靜脈의 基本型이 모두 同一型이고 靜脈以外는 배운 單調한 分枝를 보였다.

中間葉

氣管枝 B.7a+B.7b型 (95%)外 2個型

肺動脈 A.7a+A.7b型 (92%)外 1個型

肺靜脈 V.7a+V.7b型 (90%)外 1個型

氣管枝, 肺動脈, 肺靜脈의 基本型이 모두 同一型이고 이들은 90~95%의 絶對 多數例를 占하였으며 一般的으로 매우 單調한 分枝狀을 보였다.

右橫隔葉

氣管枝 B.8+(B.9+B.10)型 (72%)外 4個型

肺動脈 A.8+(A.9+A.10)型 85%外 3個型

肺靜脈 V.8+(V.9+V.10)型 80%外 3個型

氣管枝, 肺動脈, 肺靜脈의 基本型이 모두 同一型이고 이들은 72~85%의 多數例를 占하였다.

左尖葉

氣管枝 (B.1+2)+B.3型 (62%)外 3個型

肺動脈 (A.1+2)+A.3型 (80%)外 3個型

肺靜脈 (V.1+2)+V.3型 (77%)

氣管枝, 肺動脈, 肺靜脈의 基本型이 모두 同一型이고 이들은 62~80%의 大量을 占하였다.

左心葉

氣管枝 B.4+B.5型 (77%)外 2個型

肺動脈 A.4+A.5型 (94%)外 1個型

肺靜脈 V.4+V.5型 (81%)

氣管枝, 肺動脈, 肺靜脈의 基本型이 同一하고 이들은

77~94%를 占하였으며 單調한 分枝狀을 보였다. 左尖葉과 心葉에 가는 氣管支와 肺動脈 分枝에서는 각각 1例式 特異한型이 있었다. 즉 左尖葉과 左心葉에 가는 氣管支는 單一枝로 左氣管支에서 分岐된 後 尖葉枝와 心葉枝로 分枝되는 것이 99%였으나 1例는 左尖葉枝와 右心葉枝가 左氣管支에서 別個枝로 각각 分岐되었으며 肺動脈에서 99例는 左尖葉枝와 左心葉枝가 別個枝로 각각 左肺動脈幹에서 分岐되었으나 1例는 이들이 單一枝로 分岐된 後 左上葉枝와 左心葉枝로 分枝되었다.

左橫隔葉

氣管枝 B.8+(B.9+B.10)型 (69%)外	3個型
肺動脈 A.8+(A.9+A.10)型 (84%)外	3個型
肺靜脈 V.8+(V.9+V.10)型 (57%)外	4個型

氣管支 肺動脈 肺靜脈의 基本型이 모다 同一型이고 이들은 57~84%를 占하였으며 期本型外의 型들도 三者間に 共通한 型이 많았다.

各 基本型의 人肺에서의 出現率을 鹽澤, 岩崎, 山下, 田中, 松尾⁽²⁶⁾의 報告와 比較하면 다음과 같다. (括弧속 數値는 人肺에서의 出現率)

右尖葉

氣管枝 B.2+(B.1+B.3)型 50%	(24%)
肺動脈 A.2+(A.1+A.3)型 59%	(12%)
靜脈 V.1+V.2+V.3型 77%	(30%)

人肺에서는 B.1+B.2B.3型인 3分枝型이 40%로 가장 많이 出現하였고 하였고 動脈에서는 (A.1+A.2)+A.3型이 52%였으며 靜脈에서는 V.1+(V.2+V.3)型이 亦是 52%로 報告되고 있다.

右心葉에서는 著者の 基本型이 人肺에서도 가장 많이 出現한 것으로 되어 있다.

右橫隔葉

氣管枝 B.8+(B.9+B.10)型 72%	(72%)
動脈 A.8+(A.9+A.10)型 85%	(42%)
靜脈 V.8+(V.9+V.10)型 80%	(14%)

氣管支는 人肺와 同一한 出現率이 었으나 動脈은 人肺의 그것은 犬肺의 1/2의 出現率이며 人肺에서 가장 많은 出現率을 보인型은 (A.7+A.8)+A.9+A.10型이 50%로 報告되었다. 이는 内側肺底區가 橫隔葉에 屬한 人肺와 中間葉으로 獨立된 葉으로 遷된 犬肺와는 基本分枝에서 當然히 差가 있으리라 생자된다. 靜脈에서는 两者間 差가甚하여 人肺에서는 分裂型인 (V.8+V.9)+(V.9+V.10)型이 36%로 報告되고 있다.

左尖葉

氣管枝 (B.1+2)+B.3型 77%	(14%)
動脈 (A.1+2)+A.3型 80%	(76%)
靜脈 (V.1+2)+V.3型 75%	(58%)

動脈과 靜脈은 人肺에서도 犬肺의 基本型이 가장 많

이 出現하였으나 氣管支에서는 不過 14% 뿐이고 人肺에서는 [(B.1+2)a+b] + [(B.1+2)c+A.3]型이 54% 出現하였다.

左心葉은 人肺에서도 著者の 基本型이 가장 많이 出現한 것으로 되어 있다.

左橫隔葉

氣管枝 B.8+(B.9+B.10)型 69%	(74%)
動脈 A.8+(A.9+A.10)型 84%	(34%)
靜脈 V.8+(V.9+V.10)型 57%	(20%)

氣管支는 大同小異하나 動脈에서는 人肺의 경우 (A.8+A.9)+A.10型이 46%로 가장 많았고 靜脈은 分裂型인 (V.8+V.9)+(V.9+V.10)型의 出現이 34%로 人肺에서는 가장 많은 것으로 되어 있다.

各葉에서의 氣管支枝와 脈管系의 分枝型을 各例別로 分類하여 그 配合의 有無를 檢討하면 다음과 같다.

(以下 記述에서 B.1 A.2 V.3는 各葉의 出現型中 氣管支의 1型 動脈의 2型 靜脈의 3型을 表示함)

右尖葉 : 氣管支에서의 出現型이 5個型(以下 B.는 몇 個型이라 略記) 動脈에서의 出現型이 5個型(以下 A.는 몇 個型이라 略記) 靜脈에서의 出現型이 6個型(以下 V.는 몇 個型이라 略記) 따라서 右尖葉에서는 150個의 配合例의 ($5 \times 5 \times 6 = 150$) 出現이 可能하나, 著者の 觀察에서 34例가 出現하였으며 其中 10個의 配合例에서 有無성이 있었다. 有無 있는 配合例는 다음과 같다.

B.1 A.1 V.1 23% B.1 A.2 V.1 11% B.2 A.1 V.1 10% B.3 A.1 V.1 6% B.1 A.1 V.2 4% B.2 A.5 V.1 3% B.3 A.2 V.1 3% B.2 A.3 V.1 3% B.3 A.2 V.1 3% B.2 A.2 V.1 3% (以上은 모다 $p < 0.01$)

右心葉 : B.는 3個型 A.는 3個型 V.는 6個型 따라서 54個의 配合例가 可能하나 21例가 出現했으며 其中 3個配合例에 有無성이 있었다. 즉 B.1 A.1 V.1 41% B.1 A.1 V.2 16% B.1 A.1 V.3 13% (以上 모다 $p < 0.01$)

中間葉 : B.는 3個型 A.는 2個型 V.는 4個型 따라서 24個의 配合例가 있으나 10個의 配合例가 出現하였으며 其中 2個가 有無성이 있었다. 即 B.1 A.1 V.1 81% $p < 0.01$ B.1 A.1 V.2 5% $p < 0.05$)

右橫隔葉 : B.는 5個型 A.는 4個型 V.는 4個型 따라서 80個의 配合例가 可能하나 18個의 配合例가 出現하였으며 其中 4個의 配合例에서 有無성이 있었다. 즉 B.1 A.1 V.1 63%, B.1 A.1 V.2 7% B.2 A.2 V.1 6%, B.1 A.1 V.1 5% (以上은 모다 $p < 0.01$)

左橫隔葉 : B.는 4個型 A.는 4個型 V.는 6個型 따라서 出現可能한 配合例 96이나 25個의 配合例가 出現하였으며 其中 5個例에서 有無성이 있었다. 即 B.1 A.1 V.1 48% B.2 A.2 V.1 9% B.2 A.1 V.1 9% B.2 A.1 V.2 8% (以上은 $p < 0.01$) B.1 A.1 V.2 4% ($p < 0.05$)



Whole divergent specimen of bronchi and pulmonary vessels. (dorsal view)



Rami in all pulmonary areas.
(ventral view)



(dorsal view)

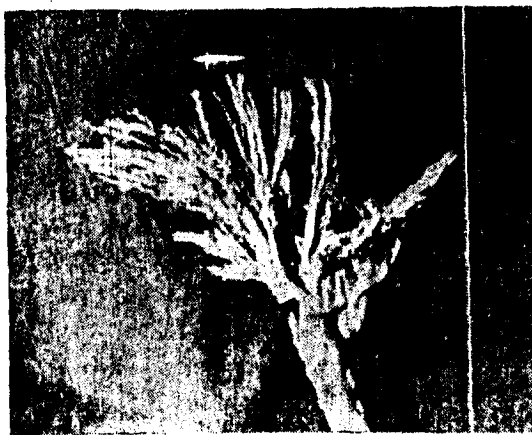
Cut surface view of small bronchi and pulmonary vessels.



(ventral view)



Left upper and medial lobes having different bifurcation at left bronchus.



Left upper and medial pulmonary artery having a same bifurcation at left pulmonary artery stem,

左心葉 : B 는 3 個型 A 는 2 個型 V 는 4 個型 라서
出現可能한 配合例는 14 이나 13 個의 配合例가 出現하
있으며 其中 有意味 있는 配合例는 B.1 A.1 V.1 69%
($p < 0.01$) 뿐이었다.

左橫隔葉 : B 는 4 個型 A 는 3 個型 V 는 5 個型 라서
出現可能한 配合例는 60 이나 21 個의 配合例가 出現하
있으며 其中 3 個例가 有意味이 있었다. 即 B.1 A.1
V.1 55% B.1 A.1 V.2 9% B.2 A.1 V.2 8% (以上은
모두 $p < 0.01$).

V. 結論

著者는 犬肺 100 例의 氣管枝 및 脈管系에 人工合成樹脂 (Vinylite)를 注入하여 鑄型標本을製作하여 그의 分岐型을 分類하여 다음과 같은 結論을 얻었다.

1. 犬肺도 人肺와 同一한 肺區域으로 区分할 수 있으
나 肺에서 内側肺底區 (Seg. mediobasalis)에 該當하는 中間葉은 개(犬)에서는 獨立된 中間葉으로 右肺의 内側에
크게 發達하여 있다.

2. 氣管支枝은 主軸狀 分岐며 脈管系는 이에 隨伴하
여 가나 肺動脈은 氣管支 術 肺動脈보다 恒常多少 멀
어져서 말린다.

3. 各葉의 氣管支枝 및 脈管系에는 著者が 基本型이
라고 한 가장 많은 (41~24%) 出現率을 보이는 型이 있
었고 그밖에 少數例의 1~5 個의 型이 있었다.

4. 氣管支系와 脈管系의 分枝는 반드시 一致하는 것
은 아니며 脈管系는 그 分枝가 極端多難性이며 靜脈에
서 더욱 顯著하다.

5. 背枝下 橫隔葉枝는 모든 標本에서 볼 수 있었다.

6. 左尖葉과 心葉에 가는 氣管支가 各各 別途로 左氣
管支幹에서 分岐하는 特異한 型이 1 例 있었으며 左
尖葉과 心葉에 가는 肺動脈 分岐에서 이들이 同一枝로
分岐되어 이것이 各各 左尖葉과 心葉에 가는 肺動脈枝
로 分岐되는 特異한 型도 1 例 있었다.

7. 各葉에서의 氣管支와 脈管系의 分岐型을 各別例로
分類하여 그 配合을 檢索한 結果 有意味 있는 配合例가
많았다.

IV. 參考文獻

1. Malpighi, M.: De Pulmonibus. Epistola I and II, pp.
133~144 in Opera Omnia, London 1687 (First
London Ed.--1686), 1661, Cite of Boyden, E. A.:
Segmental Anatomy of the Lung, 1955.
2. Aeby, C.: Der Bronchialbaum der Säugetiere und
des Menschen. Nebst Bemerkungen über den Bron-
chialbaum der Vögel und Reptilien. Wilhelm Enge-
mann, Leipzig, 1880. Cite of Boyden, E.A.; Segm-
ental Anatomy of the Lung, 1955.
3. Ewart, W.: The Bronchi and pulmonary blood
vessels, J. Churchill Ltd. London, 1886 Cite of Boy-
den, E.A.: Segmental Anatomy of the Lung, 1955.
4. Melnikoff, A.: Die chirurgische Anatomie des in-
trapulmonalen Gefasse und der Respirationswege,
Arch. f.klin. Chir., 124; 460~510, 1922.
5. Melnikoff, A.: Architektur der Intrahepatischen
Gefasse und der Gallenweges des Menschen, Schr.
Anat. W. Entwickelung gesch, 70; 471~465, 1924
(70 references).
6. Felix, w.: Die Anatomie des Brustkorbes, der Lungen
und der Lungen felle, In Saurebruch's Die chirurgie
der Brustorgan'e, 3 rd Ed., Vol. 1, p. 4~245.
Julius Springer, Berlin, 1928.
7. Kramer, R., and glass, A.; Bronchoscopic localiza-
tion of Lung abscess. Ann. Otol., Rhin., and Lar.,
4; 99, 1210~1220, 1930.
8. Herrnheiser, G., and Kubat, A.: Systematische
Anatomie der Lungengefässer. Ztschr. F. Anat. u.
Entwickelungsgesch., 106; 570~653, 1936.
9. Jackson, C.L., and Huber, J.F.: Correlated applied
anatomy of the bronchial tree and lungs with a
system of nomenclature, Dis. of Chest, 9; 319~326,
1934.
10. Boyden, E.A.: The intrahilar and related segmental
anatomy of the Lung, Surgery, 18; 706~731, 1945.
11. Ellas, H., and petty, D.; Gross anatomy of blood
vessels and ducts within the human Liver. Am. J.
Anat., 90; 95~111, 1952.
12. Healey, J.E., and Schreey, P.C.; Anatomy of the
biliary ducts within the human liver. Arch. Surg.,
66; 599~616, 1953.
13. Anatomy of the domestic animals. Grossman Sisson
556~563, 1953.
14. Miller M.E.; Guide to the dissection of the dogs,
3rd Ed. 138~144, 1955.
15. On distribution and Potential properties of the
bronchial arteries in dogs with references to shift in
external respiration.
Maksimukh, 1 A. Arkh. Anat. 45; 41~50, Dec.
1963 (115 Rep.) (Rus).
16. The pulmonary artery and veins. Their radiographic
identification.
Farris, JH.Jr, Med. Radiogphotogr. 39; 52~62, 1963. 3
17. Court Lv., Macryz, R.Monterio om:

- (Study of the Structure of the trunk of the pulmonary artery; 1 normal patterns according to age)
Arg. Brasil Cardiol 16; 13—46 Jun, 1963 (por)
Aklet. C.Glick. G.Micredie Rm.
- (Congenital absence of a pulmonary artery, Report a case, with special reference to bronchial Circulatory and review of the literature.)
Amer. J.Met. 34; 264—71. Feb. 1963.
18. Saloana. M. Arias-Stella, J.
(Studies on the structure of the pulmonary trunk. I.)
Normal Changes in the elastic configuration of the human pulmonary trunk at different ages. Circulation. 27; 1094—100. Jun. 1963.
19. The right pulmonary veins of cats studied on Corrosion specimens.
Gregor A. et al. Cesk Morf. 12; 239—4, 1964.
20. 新井正治：氣管枝分岐，解剖學雜誌，26卷 2號 1951.
21. 山下英秋：肺區域の研究，胸部外科 4卷 6號 1951
22. 氏家 基：肺切除に關する基礎的研究 胸部外科 4卷 6號 1951
23. 小野 龍：氣管枝分岐並びに肺區域の命名，胸部外科 5卷 4號 1952
24. 畑中栄一：肺結核に對する肺區域切除術 胸部外科 5卷 6號 1952
25. 氏家 基：肺區域切除術に關する基礎的研究 胸部外科 1952. 12, 1953. 4, 1953. 6.
26. 鹽津, 岩崎, 山下, 田中, 松尾：肺區域切逕術に對する基礎的研究 胸部外科 5卷 6號 1952
27. 増井 浩：家畜比較解剖學 5版 上巻 182—186 1953
28. 尹錫鳳：家畜基本解剖學 97—99 1963
29. 成德相：氣管支鱗型標本의 計測學的研究 廉北醫大雑誌 1:65
30. 中久喜江, イ(又)犬肺氣管分岐とそれに伴う肺區域解剖學雜誌 41卷 2號 1966.

**Studies on the Subgross Anatomy of the Canine Viscera by the
Vinylite-Corrosion Technique.**

I. The Distribution of Bronchial Branches and BloodVessels in the Lung.

Ki Choul Mo

College of Agriculture, Kyong Puk University

Summary

This study was conducted to observe the condition of the ramifications of the bronchus and pulmonary blood vascular system by injecting the vinylite into the bronchial tree and pulmonary blood vessels in 100 normal adult dogs.

The results obtained were summarized as follows:

1. Lungs of dog were composed of the same pulmonary territories as in lungs of human.
2. Cardiac lobe corresponding to R.medio-bassalis of human lungs was well developed and situated as a independent cardiac lobe, in ventral side of right lung.
3. Bronchial tree were in the patterns of axial divergency and blood vascular systems were (in general) branched along the bronchial tree, arteries lying near the bronchial tree but veins apart from it.
4. Among the branching patterns of bronchus pulmonary artery and pulmonary vein in each lobe, the type presented most frequently were noted, which were designated basic type by the author.
5. Pulmonary blood vessels were not always branched in accordance with bronchial tree, diverged in more complex patterns, especially in venous vascular system.
6. Ramus anterior (lobe apicalis) was always observed in all casting specimen.
7. There was a case of peculiar variation patterns of the ramification in the bronchi directing into the left apical and cardiac lobe, arose respectively at independent origin of bifurcation in the left bronchial stem, and a case of peculiar variation pattern of the artery entering left apical lobe and cardiac lobe, had a same origin of the bifurcation at rami pulmonary artery, and then divided respectively into the rami medi artery and rami left apical lobe artery.
8. In the classification based on the patterns of bronchial and blood vasculor divergencys, there were a lot of significant combination cases in their patterns.